

استفاده از روش عددی بدون شبکه المان طبیعی در حل معادلات حاکم بر سیال با سطح آزاد

امید غیاثی طرزی¹، محمد ذونعمت کرمانی^{2*}

1- دانشجوی کارشناسی ارشد سازه‌های هیدرولیکی، دانشگاه آزاد اسلامی، واحد علوم و تحقیقات سیرجان

2- استادیار، بخش مهندسی آب، دانشگاه شهید باهنر کرمان

zounemat@uk.ac.ir

چکیده - تحقیق پیش رو توانایی روش عددی بدون شبکه المان طبیعی را در شبیه‌سازی جریان با سطح آزاد و همچنین سازگاری روش جهتمند تعمیم مرتبه دوم طرح ون-لیر را بر روی روش حل المان طبیعی بیان می‌دارد. اساس روش المان طبیعی بر پایه درونیاب همسایه طبیعی است که در این تحقیق درونیاب سیپسون بکار گرفته می‌شود. همچنین به دلیل مناسب نبودن انتگرال‌گیری نقاط گوسی، در پژوهش حاضر از شیوه انتگرال گرهای استفاده می‌شود. صحت‌سنجی روش حل ارائه شده برای جملات پخش معادلات توسط مسئله دو بعدی انتقال حرارت و برای جملات جابجایی توسط مسئله یک بعدی شکست سد صورت می‌گیرد. در ادامه، شبیه‌سازی جریان با سطح آزاد بر روی بستر ناهموار در کانال مورد تحلیل قرار می‌گیرد و نتایج بدست آمده با نتایج حل تحلیلی مقایسه می‌شود. افروزن بر این، مسئله جریان آب درون پارشال فلوم شبیه‌سازی می‌شود و نتایج بدست آمده با برداشت‌های آزمایشگاهی مقایسه می‌گردند. مقایسه نتایج حاصل از مدل سازی و حل تحلیلی توسط معیار جذر میانگین مربعات خطای نرمال شده برای مسائل درجه حرارت، شکست سد و عبور جریان سطح آزاد از روی برآمدگی مقدار خطای کمتر از 2 درصد و مقایسه خطای مدل عددی و برداشت‌های آزمایشگاهی برای مسئله پارشال فلوم 18 درصد را نشان می‌دهد. همچنین مقدار ضریب تعیین برای سه مسئله اول بیش از 0/99 و برای مسئله پارشال فلوم 0/90 است که مبین قابلیت بالای مدل عددی در شبیه‌سازی جریان سطح آزاد می‌باشد.

کلیدواژگان: معادلات آبهای کم‌عمق، روش بدون شبکه المان طبیعی، درونیاب سیپسون، انتگرال‌گیری گرهای، طرح جهتمند ون-لیر.

جریان درون سیلاندشت اشاره کرد. به کار بردن این معادلات در شبیه‌سازی جریان آبهای کم‌عمق، علاوه بر تولید نتایج قابل قبول، موجب کاهش چشمگیر هزینه محاسباتی نسبت به حالت سه بعدی می‌شود. از آنجا که حل تحلیلی این معادلات به دلیل شرایط مرزی پیچیده غیر ممکن است، لذا از روش‌های عددی برای حل این معادلات استفاده می‌شود. امروزه روش‌های اجزای محدود و احجام محدود به صورت گستردگی به عنوان روش

1- مقدمه

بدون شک یکی از پرکاربردترین مدل‌های عددی در حوزه مهندسی هیدرولیک، رودخانه و دریا معادلات آبهای کم-عمق می‌باشند. این معادلات حاصل دو بعدی سازی معادلات ناویه-استوکس هستند و برای مدل سازی رفتار جریان‌هایی که عمق ناچیزی نسبت به ابعاد دیگر خود دارا می‌باشند، ارائه شده‌اند. از جمله این جریان‌ها می‌توان به جریان حاکم بر رودخانه‌ها و کانال‌های عریض، تالاب‌ها و

کاربر) در مسائل با شبکه‌بندی غیر یکنواخت از دیگر خصوصیات روش المان طبیعی است. از مزایای قابل توجه این روش، وجود درونیاب همسایه طبیعی است که با توجه به نحوه انتخاب گره‌های همسایه و مقدار تأثیر آنها، اثر زیادی در عملکرد روش المان طبیعی می‌گذارد. برخلاف بیشتر روش‌های بدون شبکه که فاصله گره‌ها اصلی‌ترین عامل تعیین‌کننده است، در این روش علاوه بر فاصله، تجمع گره‌ها سهم بسیار زیادی در انتخاب و مقدار تأثیر گره‌های همسایه دارد (Alfaro et al., 2007).

شایان ذکر است که انتگرال‌گیری‌ها در روش المان محدود به روش گوسی⁹ به دو دلیل با خطا همراه است؛ (1) عدم انطباق دامنه تأثیر توابع شکل با محدوده‌های انتگرال‌گیری (مثلث‌های دلاونی¹⁰) و (2) چند جمله‌ای نبودن توابع شکل در روش مذبور (Chen et al., 2001). برای رفع این مشکل می‌توان از انتگرال‌گیری گره‌ای¹¹ استفاده کرد. با این کار و در صورت پایدارسازی انتگرال گره‌ای، علاوه بر کاهش حجم عملیات، دقت جواب‌ها نیز بیشتر خواهد شد. در زمینه موارد مطالعاتی مشابه موضوع پژوهش حاضر، می‌توان تحقیقات زیر را برشمود. چن و همکاران (2001) و یو و همکاران (2004) و همچنین کوتولو و همکاران (2003) به شبیه‌سازی جریان آبهای کم‌عمق با استفاده از روش‌های بدون شبکه پرداخته‌اند (Cueto et al., 2003; Chen et al., 2001; You et al., 2004)

سولنثالر و همکاران (2001) تحلیل معادلات آبهای کم‌عمق با استفاده از روش هیدرودینامیک ذرات هموار شده را مورد بررسی قرار دادند (Solenthaler et al., 2011). لین و آتلوری (2001) با استفاده از روش بدون شبکه پترو-گالرکین معادلات ناویه-استوکس تراکم‌ناپذیر آبهای کم‌عمق را شبیه‌سازی نمودند (Lin et al., 2001). دربانی و همکاران (2011) با روش پایدارسازی انتگرال گره‌ای در تولید ماتریس سختی جریان آبهای کم‌عمق را مدل‌سازی نمودند. برای این منظور ایشان از روش بدون شبکه المان طبیعی استفاده کردند. افزون بر شکل کامل معادلات غیرخطی آبهای کم‌عمق، اثر کوریولیس نیز در

عددی در شبیه‌سازی‌های رایانه‌ای مورد استفاده قرار می‌گیرند. این روش‌ها قابلیت حل مسأله با شرایط مرزی پیچیده را دارند، اما در این روش‌ها وابستگی زیادی به نحوه و شکل شبکه‌بندی وجود دارد، و همچنین در مسائل با مرز متحرک این روش‌ها نیاز به تولید شبکه دوباره دارند که عملیات تولید شبکه بسیار وقتگیر است (Cueto et al., 2003; Zounemat-Kermani et al., 2010).

اخيراً علاوه بر روش‌های فوق، رویکردی متفاوت برای تحلیل معادلات و گسسته‌سازی هندسه محاسباتی مورد استفاده قرار می‌گیرد، که به نام‌های روش‌های مبتنی بر ذره و بدون شبکه شناخته می‌شوند. در این روش‌ها وابستگی به شبکه کمتر است. از جمله این روش‌ها می‌توان به روش بدون المان گالرکین¹، روش گره‌های ماده²، روش بدون شبکه محلی-پترو-گالرکین³ و روش المان طبیعی⁴ اشاره کرد (Liu, 2009).

بیشتر روش‌های بدون شبکه بر پایه درون‌یابی و تقریب اطلاعات می‌باشند، مانند روش هیدرودینامیک ذرات هموارشده⁵ که یک روش پرکاربرد در شاخه سیالات است. اما یک ایراد اساسی در اینگونه از روش‌ها عدم توانایی در درونیابی نقاط گره‌ای است، که این نقطه ضعف اعمال شرایط مرزی را دچار مشکل می‌کند (Cueto et al., 2003). در همین راستا، لیو (2003) استفاده از روش پنالتی و همچنین روش ضرایب لاغرانژ را برای اعمال شرایط مرزی ضروری در روش بدون المان گالرکین و روش هیدرودینامیک ذرات هموار پیشنهاد داد (Liu, 2003).

روش المان طبیعی بر پایه روش گالرکین⁶ بنا شده است و از درونیاب همسایه طبیعی⁷ استفاده می‌کند، به دلیل دارا بودن خصوصیت دلتای کرونکر⁸ و همچنین توابع شکل خطی در مرزها، در روش مذبور می‌توان شرایط مرزی ضروری را شبیه روش اجزای محدود اعمال کرد. همچنین تقریب خوب و مناسب (یدون نیاز به تعریف پارامتر توسط

1. Element Free Galerkin

2. Material Point Method

3. Meshless Local Petrov Galerkin

4. Natural Element Method

5. Smoothed Particle Hydrodynamics

6. Galerkin

7. Natural Neighbor Interpolation

8. Delta Kronecker Function

9. Guassian Quadrature

10. Delaunay Triangles

11. Nodal Integration

نواحی سلول‌های ورونوی نامیده می‌شود. برای یک مجموعه از نقاط دیاگرام ورونوی سطح را به مناطقی تقسیم‌بندی می‌کند که برای هر نقطه از مجموعه نقاط یک منطقه تعریف می‌شود، به طوری که تمام نقاط این منطقه به نقطه تولید کننده آن منطقه نزدیکتر است (شکل 1-الف).

$$V_i = \left\{ x \in R^d : d(x, x_i) \leq d(x, x_j) \quad \forall j \neq i \right\} \quad (1)$$

در رابطه (1) R^d مجموعه نقاط در فضای d بعدی می‌باشد و عملگر d فاصله بین نقاط را نشان می‌دهد. مثلث‌بندی دلاونی برای مجموعه‌ای از نقاط در یک صفحه بهصورتی است که هیچ نقطه‌ای از مجموعه مورد نظر داخل هیچیک از دوایر محاطی بر مثلث‌ها قرار ندارد. این مثلث‌بندی کمینه زاویه‌های مثلثها را به بیشترین مقدار ممکن می‌رساند و به این ترتیب از به وجود آمدن مثلث‌های با زوایای تند جلوگیری می‌کند. در شکل 1-ب رابطه بین مثلث‌بندی دلاونی و دیاگرام ورونی به این صورت است که از وصل نمودن مراکز مثلث‌های هم جوار در مثلث‌بندی دلاونی تشکیل دیاگرام ورونی می‌دهد، همچنین از اتصال نقاط همسایه در دیاگرام ورونی مثلث‌های دلاونی پدید می‌آیند (شکل 1).

2-1-2-تابع شکل

تابع شکل در روش المان طبیعی بر اساس دیاگرام مرتبه دوم ورونی تعریف می‌شود.

$$V_{k,i} = \left\{ x \in R^d : d(x, x_k) \leq d(x, x_i) \leq d(x, x_j) \quad \forall j \neq i, k \right\} \quad (2)$$

اگر ناحیه‌ای که در سلول ورونی گره i قرار داشته باشد و به نقطه k نزدیکتر باشد با $V(k,i)$ معرفی شود و مساحت این ناحیه با $A(k,i)$ نمایش داده شود، تابع شکل سیبسون برای گره زدن نقطه k به صورت رابطه (3) محاسبه می‌شود (Cueto et al., 2003).

$$\phi_j(x_k) = \frac{A_{k,j}}{\sum_i A_{k,i}} \quad (3)$$

دامنه تأثیر تابع شکل گره j برابر با سطح روی تمام دوایر محاطی است که از روی گره j عبور می‌کنند (شکل 1-ج).

معادلات حاکم در نظر گرفته شد. برای حل معادلات از رویکرد لاغرانژی و بر اساس شیوه مشخصات استفاده شد (Darbani et al., 2011).

اگرچه حل لاغرانژی معادله سبب سادگی در مسائل با مرز متحرک می‌شود، اما در حل اویلری معادلات بدليل ثابت ماندن گره‌ها، ماتریس‌های سختی و جرم و ... همواره ثابت می‌مانند و در نتیجه سرعت حل بیشتر می‌شود. در این مقاله معادلات جریان آبهای کم عمق بهروش المان طبیعی و با در نظر گرفتن رویکرد اویلری حل شده است؛ ماتریس سختی بهروش پایدارسازی انتگرال گره‌ای و همچنین سایر قسمت‌های معادله به روش انتگرال گره‌ای حل می‌شود.

2- مواد و روش‌ها

2-1-2-معرفی روش المان طبیعی

حل بهروش المان طبیعی بر پایه روش گالرکین است، بطوری که توابع آزمون¹ همان توابع درونیاب همسایه طبیعی هستند. درونیاب همسایه طبیعی بر اساس مفهوم مثلث‌بندی دلاونی، دیاگرام ورونی و دیاگرام ورونی مرتبه دوم بنا شده است. توابع شکل را می‌توان بر اساس دو روش پرکاربرد سیبسون² و لابلس³ بدست آورد.

به منظور دریافت اطلاعات بیشتر در رابطه با این دو روش می‌توان به مقاله کوتو و همکاران (2001) (Cueto et al., 2003) مراجعه نمود. روش سیبسون بر اساس نسبت مساحت قلمرو نقطه مفروض به مساحت قلمرو نقاط گره‌ای پایه‌گذاری شده است و همین امر باعث شده که توابع شکل سیبسون دارای نرمی و انعطاف بیشتری نسبت به باقی روش‌ها باشند. به همین علت در این مقاله از روش سیبسون برای تشکیل توابع شکل استفاده شده است.

2-1-2-1- دیاگرام ورونی و مثلث‌بندی دلاونی

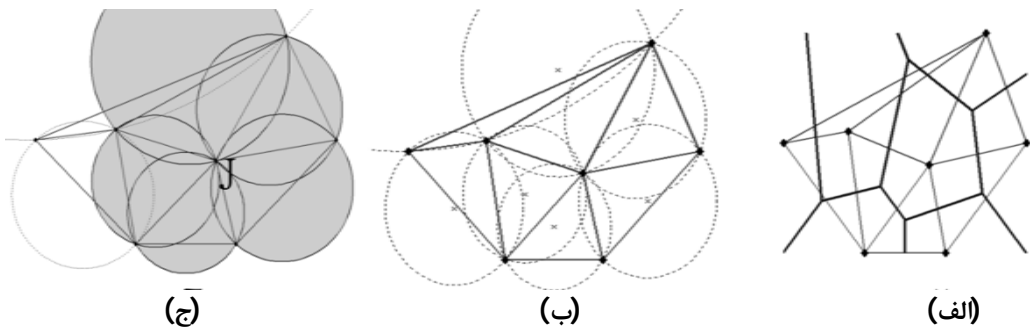
در علم ریاضیات دیاگرام ورونی⁴ روشی برای تقسیم فضا فضا به تعدادی ناحیه می‌باشد. در این دیاگرام به هر مجموعه‌ای از نقاط ناحیه‌ای اختصاص داده می‌شود. این

1. Trial Functions

2. Sibson

3. Laplace

4. Voronoi Diagram



شکل ۱ رابطه بین گرهها در دیاگرام ورنوی و مثلثبندی دلاونی؛ (الف) دیاگرام ورنوی ب) مثلثبندی دلاونی و دوایر محاطی ج) دامنه تأثیر تابع شکل گره J

در معادلات فوق h برابر عمق جریان، U سرعت متوسط‌گیری شده جریان، $\tau_{b,i}$ تراز بستر، τ اصطکاک بستر و v ضریب پخش لزجت سیال می‌باشد. شایان ذکر است که در معادلات فوق اثر کوریلویس صرف‌نظر شده است.

همان‌طور که از شکل ۱-ج مشخص است میزان و محدوده تأثیر توابع شکل در روش المان طبیعی تنها به فاصله وابسته نیست. از سایر ویژگی‌های تابع شکل روش المان طبیعی می‌توان به پایداری خطی، قسمت‌بندی یکپارچه و منطبق بودن بر دلتای کرونکر اشاره کرد (Darbani et al., 2011)

$$u(x) = \sum_i \phi_i(x) u_i, \quad \phi_i(x_j) = \delta_{ij}, \quad \sum_i \phi_i(x) = 1 \quad (4)$$

به منظور آگاهی بیشتر در رابطه با خصوصیات انواع توابع شکل مورد استفاده در روش المان طبیعی، خواننده به مقاله کوتو (2003) ارجاع داده می‌شود (Cueto et al., 2003).

2-1-2- صورت ضعیف شده² معادله
از انجا که روش المان طبیعی بر اساس روش گالرکین پایه‌گذاری شده است، لذا نیازمند ضعیفسازی صورت معادله است که به حالت معادلات ضعیف شده (5) در می‌آید.

$$\begin{aligned} \int N_i \left(\frac{\partial h}{\partial t} + \frac{\partial(hU_j)}{\partial x_j} \right) &= 0 \\ \int N_i \left(\frac{\partial(hU_i)}{\partial t} + \frac{\partial(hU_i U_j)}{\partial x_j} \right) & \\ = \int N_i \left(-gh \frac{\partial h}{\partial x_i} - gh \frac{\partial z_b}{\partial x_i} + \frac{\partial}{\partial x_j} \left(vh \frac{\partial U_i}{\partial x_j} \right) - \frac{1}{\rho} \tau_{b,i} \right) & \end{aligned} \quad (6)$$

که N_i تابع شکل سیبیسون می‌باشد. لازم به ذکر است که به منظور گسسته‌سازی معادلات، در فرایند ساخت شکل ضعیف معادلات فوق بصورت پایستار حل شده‌اند.

2-3- انتگرال‌گیری به روش انتگرال گره‌ای
در هنگام ساخت صورت ضعیف عبارات بخش غیردائمی جریان $(\frac{\partial(hU_i)}{\partial t})$ و همچنین اصطکاک و شیب بستر،

2-2- معادلات حاکم

معادلات حاکم در تحقیق پیش‌رو، معادلات جریان آبهای کم‌عمق می‌باشند که دربرگیرنده معادلات پیوستگی و مومنتم (اندازه حرکت) در جهات افقی X و Y هستند. این معادلات منتج از معادلات سه‌بعدی تراکم ناپذیر ناویه‌استوکس¹ می‌باشند که در جهت قائم انتگرال‌گیری شده‌اند و به صورت رابطه (5) حاصل شده است (Zounemat-Kermani et al., 2010)

$$\begin{aligned} \frac{\partial h}{\partial t} + \frac{\partial(hU_j)}{\partial x_j} &= 0; \quad j = 1, 2 \\ \frac{\partial(hU_i)}{\partial t} + \frac{\partial(hU_i U_j)}{\partial x_j} &= gh \frac{\partial h}{\partial x_i} - gh \frac{\partial z_b}{\partial x_i} \\ + \frac{\partial}{\partial x_j} \left(vh \frac{\partial U_i}{\partial x_j} \right) - \frac{1}{\rho} \tau_{b,i}, \quad j &= 1, 2 \end{aligned} \quad (5)$$

(You et al., 2004)

$$\int_{\Omega_k} \frac{\partial N_i}{\partial x} dA = \overline{\frac{\partial N_i}{\partial x}} \cdot \Lambda_k$$

$$\int_{\Omega_k} \frac{\partial N_i}{\partial x} dA \xrightarrow{\text{greenTheory}} = \int_{C_k} N_i dy$$

$$\int_{\Omega_k} \frac{\partial N_i}{\partial x} \frac{\partial N_j}{\partial x} dA = \overline{\frac{\partial N_i}{\partial x}} \cdot \overline{\frac{\partial N_j}{\partial x}} \cdot \Lambda_k$$

$$= \frac{\int_{C_k} N_i dy \cdot \int_{C_k} N_j dy}{\Lambda_k \cdot \Lambda_k} \cdot \Lambda_k = \frac{\left(\int_{C_k} N_i dy \cdot \int_{C_k} N_j dy \right)}{\Lambda_k} \quad (12)$$

و بطور مشابه:

$$\int_{\Omega_k} \frac{\partial N_i}{\partial y} \frac{\partial N_j}{\partial y} dA = \frac{\left(\int_{C_k} N_i dx \cdot \int_{C_k} N_j dx \right)}{\Lambda_k} \quad (13)$$

و برای انتگرال‌های خطی می‌توان از روش نقاط گوسی استفاده کرد.

$$\int_{C_k} N_i dx = \sum_{x_g}^{N_{gauss}} N_i(x_g) \omega(x_g) \quad (14)$$

که در رابطه فوق w تابع وزن نقاط گوسی می‌باشد. در نهایت گسسته‌سازی معادله (6) بصورت زیر نوشته می‌شود.

$$M \times \frac{\partial \{h\}}{\partial t} + H_j \times \{q_j\} = 0$$

$$M \times \left(\frac{\partial \{q_i\}}{\partial t} + g \bar{h} \frac{\partial \{z_b\}}{\partial x_i} + \frac{1}{\rho} \tau_{b,i} \right) + H_j \times (\{U_i q_j\})$$

$$+ H_i \times (0.5g\{h^2\}) - K_j \times (\nu_e \cdot \{U_i h\}) \quad , \quad j=1,2 \quad (15)$$

که q دبی در واحد عرض است و کمیت‌های درون $\{ \}$ معرف ماتریس ستونی مقادیر کمیت مورد نظر روی گره‌های مربوطه می‌باشد.

4-2- پایدارسازی حل

در روند حل عددی عبارت جابجایی در غالب روش‌هایی که بصورت مرکزی به گسسته‌سازی معادلات می‌پردازند (برای مثال روش تفاضل محدود و روش احجام محدود) اغتشاشاتی ناخواسته ایجاد می‌شود که این اغتشاشات علاوه بر تولید خطأ می‌توانند در برخی موارد (در صورت عدم مستهلکسازی) موجب ناپایداری روند حل گردند. در

ماتریس جرمی مطابق زیر پدید می‌آید.

$$M_{ij} = \int_{\Omega} N_i N_j dA \quad (7)$$

برای حل انتگرال فوق بصورت گره‌ای می‌توان از مساحت سلوال‌های ایجاد شده توسط الگوریتم ورونوی و به صورت رابطه (8) استفاده کرد (Bueche et al., 2000)

$$\int_{\Omega} N_i dA = \Lambda_i \times N_i(x_i) = \Lambda_i = \text{area voronoi cell (i)}$$

$$\Rightarrow \int_{\Omega} N_i N_j dA = \Lambda_i \times N_i(x_i) \times N_j(x_i) \Rightarrow M_{ij} = \begin{cases} \Lambda_i & i=j \\ 0 & i \neq j \end{cases} \quad (8)$$

در شکل ضعیف شده عبارات جابجایی $(\frac{\partial(h U_i U_j)}{\partial x_j})$ انتگرال به صورت رابطه (9) در می‌آید:

$$H_{(k)ij} = \int_{\Omega} N_i \frac{\partial N_j}{\partial x_k} \quad (9)$$

که k نشان دهنده جهت مختصات است. حل انتگرال فوق به روش انتگرال‌گیری گره‌ای به صورت رابطه (10) انجام می‌گیرد.

$$\int_{\Omega} N_i \frac{\partial N_j}{\partial x} dA \stackrel{(N_i=1 \text{ on Voronoi Cell } i)}{=} \int_{\Omega_i} N_i \frac{\partial N_j}{\partial x} dA = \int_{\Omega_i} \frac{\partial N_j}{\partial x} dA$$

$$\int_{\Omega_i} \frac{\partial N_j}{\partial x} dA = \int_{C_i} N_j dy \quad (10)$$

در رابطه فوق برای انتگرال‌گیری گره‌ای مطابق رابطه (8) تابع شکل N_i در محدوده ورونوی مربوط به گره i برابر با واحد و در سایر نقاط برابر با صفر در نظر گرفته شده است، لذا محدوده انتگرال‌گیری Ω به محدوده قلمروی ورونوی Ω_i مربوط به گره i تبدیل می‌شود و در نهایت انتگرال سطحی با استفاده از قضیه گرین به انتگرال مرزی تبدیل می‌گردد.

همچنین انتگرال ایجاد شده در شکل ضعیف شده عبارات

$$\left(\frac{\partial}{\partial x_j} \left(v h \frac{\partial U_i}{\partial x_j} \right) \right) \text{ به شکل رابطه (11) می‌باشد:}$$

$$K_{(k)ij} = \int_{\Omega} \frac{\partial N_i}{\partial x_k} \frac{\partial N_j}{\partial x} dA \quad (11)$$

در روش انتگرال گره‌ای باستی مقادیر مشتقات توابع شکل بر روی گره‌ها مشخص باشد و از آنجا که این مقادیر روی گره‌ها مشخص نیست، لذا می‌توان برای تعیین مقادیر مشتقات از روش ثبتیت هموارسازی تنش استفاده کرد

$$Q_i^* = Q_i + N_i(k) \cdot \Delta^* Q_i \quad (19)$$

در رابطه فوق $\Delta^* Q_i$ محدود کننده شیب خوانده می‌شود که با توجه به جهت جریان بر اساس کمینه و یا بیشینه مقادیر گرادیان سرعت و شیب تغییرات Q در گره i بدست می‌آید (Gomez, 2005).

5-2- گسسته‌سازی زمانی

گسسته‌سازی جملات زمانی در روش المان طبیعی همانند سایر روش‌های احجام و اجزاء محدود توسط الگوی تفاضل محدود انجام می‌گیرد. در این تحقیق از روش چند گامی ریج مایر-لاکس-وندروف در دو مرحله زمانی برای پایدارسازی حل استفاده شده است (Zienkiewicz et al., 2005).

a)

$$\frac{h^{n+\frac{1}{2}} - h^n}{\Delta t / 2} + \left(\frac{\partial(hU_j)}{\partial x_j} \right)^n = 0$$

$$\frac{(hU_i)^{n+\frac{1}{2}} - (hU_i)^n}{\Delta t / 2} = \left(- \frac{\partial(hU_i U_j)}{\partial x_j} - gh \frac{\partial h}{\partial x_i} - gh \frac{\partial z_b}{\partial x_i} + \frac{\partial}{\partial x_j} \left(vh \frac{\partial U_i}{\partial x_j} \right) - \frac{1}{\rho} \tau_{b,i} \right)^n$$

b)

$$\frac{h^{n+1} - h^n}{\Delta t} + \left(\frac{\partial(hU_j)}{\partial x_j} \right)^{n+\frac{1}{2}} = 0$$

$$\frac{(hU_i)^{n+1} - (hU_i)^n}{\Delta t} = \left(- \frac{\partial(hU_i U_j)}{\partial x_j} - gh \frac{\partial h}{\partial x_i} - gh \frac{\partial z_b}{\partial x_i} + \frac{\partial}{\partial x_j} \left(vh \frac{\partial U_i}{\partial x_j} \right) - \frac{1}{\rho} \tau_{b,i} \right)^{n+\frac{1}{2}}$$

$$(20)$$

که در معادلات فوق n نماینده گام زمانی است.

1-5-2- محاسبه گام زمانی

در حین فرایند تحلیل عددی، در صورتی که گام زمانی بیش از حد مجاز در نظر گرفته شود، منجر به ناپایداری و واگرا شدن نتایج حل خواهد گشت. لذا تعیین حد مجاز برای تعیین گام زمانی الزامی است. بیشینه گام زمانی مجاز برای گره i با استفاده از معیار CFL به صورت رابطه

این حالت، برای اجتناب از ناپایداری روند حل، به کارگیری روش‌های پایدارسازی حل پیشنهاد می‌شود. شیوه‌های پایدارسازی به دو صورت کلی روش‌های مرکزی و روش‌های جهتمند ارائه شده‌اند، که در این زمینه کارایی و قدرت بیشتر روش‌های جهتمند نسبت به روش‌های مرکزی گزارش شده است (Patankar, 1980). در اینجا به نحوه پیاده‌سازی روش جهتمند مرتبه دوم ون لیر پس از تشریح روش مرتبه اول بر روی حل روش المان طبیعی پرداخته می‌شود.

با در نظر داشتن معادله حاکم به صورت برداری در فضای محاسباتی می‌توان نوشت:

$$\frac{\partial Q}{\partial t} + \frac{\partial F_x}{\partial x} + \frac{\partial F_y}{\partial y} = \sum_i G_i \quad (16)$$

از رابطه (10) گسسته‌سازی عبارت جابجایی، می‌توان رابطه (17) را نوشت:

$$\int_{\Omega_i} N_i \frac{\partial N_j}{\partial x} dA = \int_{C_i} N_j dy \Rightarrow \int_{\Omega_i} N_i \frac{\partial F_x}{\partial x} dA = \int_{C_i} F_x dy \quad (17)$$

که F_x عبارتی را شامل می‌شود که مشتق مرتبه اول انها نسبت به x در معادله قرار دارد.

$$\int_{C_i} F_x dy = \sum_k \left((\{N(k)\}^T \times \{F_x\}) \Delta y_k - \underbrace{\frac{1}{2} |M| \Delta Q}_{upwind} \right)$$

$k = \text{edges of cell}(i)$

$$M = f(\tilde{h}, \tilde{c}, \tilde{q}_x, \tilde{q}_y)$$

$$\tilde{h} = \{N(k)\}^T \times \{h\} \quad , \quad \tilde{c} = \sqrt{g \tilde{h}}$$

$$\tilde{q}_x = \{N(k)\}^T \times \{q_x\} \quad , \quad \tilde{q}_y = \{N(k)\}^T \times \{q_y\}$$

$$(18)$$

که $\{N(k)\}$ ماتریس ستونی متوسط مقدار توابع شکل روی مرز k و ΔQ اختلاف مقدار کمیت Q روی گره‌های دو طرف مرز k را بیان می‌دارد. به همین ترتیب می‌توان برای گسسته‌سازی عبارت انتقالی در جهت Y عمل نمود. در تحقیق حاضر از روش جهتمند تعمیم مرتبه دوم طرح ون لیر برای بالا بردن دقیقت استفاده شده است. در پایدارسازی تعمیم مرتبه دوم طرح ون لیر در رابطه (18) تمامی کمیت‌های $(F_x, M, \Delta Q)$ روی مرز k از گره i بر اساس Q_i^* ساخته می‌شود:

لایپس است. در صورت لحاظ نمودن ضریب لزجت گردابایی به جای ضریب پخش حرارت، جمله پخش معادلات جریان آبهای کم عمق حاصل خواهد شد. لذا به منظور ارزیابی عملکرد جمله پخش معادلات آبهای کم عمق از آزمون مسئله پخش حرارت در صفحه بهره گرفته شده است. برای این منظور با توجه به مسئله ارائه شده توسط بند (1961) (Cueto et al., 1961) یک صفحه مربع شکل با ابعاد یک متر برای انتقال حرارت در نظر گرفته شده است. شرایط مرزی دما در یک ضلع برابر با ۱ درجه و در سه ضلع دیگر برابر با صفر درجه سانتی گراد اعمال شده است. همچنین ضریب پخش برابر با واحد در نظر گرفته شده است پیشنهادی توسط بند استفاده شده است که بصورت روابط (23) می باشد:

$$\begin{aligned} u(x, y) = & \frac{2}{L} \sum_{n=1}^{\infty} \left(A_n \sinh(n\pi(H-y)/L) + B_n \sinh(n\pi y/L) \right) \\ & \times \frac{\sin(n\pi x/L)}{\sinh(n\pi H/L)} \\ & + \frac{2}{H} \sum_{n=1}^{\infty} \left(C_n \sinh(n\pi(L-x)/H) + D_n \sinh(n\pi x/H) \right) \\ & \times \frac{\sin(n\pi y/H)}{\sinh(n\pi L/H)} \\ A_n = & \int_0^L f_1(x) \sin(n\pi x/L) dx \\ B_n = & \int_0^L f_2(x) \sin(n\pi x/L) dx \\ C_n = & \int_0^H g_1(y) \sin(n\pi y/H) dy \\ D_n = & \int_0^H g_2(y) \sin(n\pi y/H) dy \end{aligned} \quad (23)$$

در سری فوق تکرار مراحل حل تا همگرایی نتایج با دقت 10^{-6} انجام شد. گستره سازی میدان حل توسط ۱۲۱ گره بصورت منظم انجام شده (شکل 2-الف) و نتایج حاصل از مدل سازی در شکل 2-ب در قالب منحنی های همدما نشان داده شده است. برای بررسی صحت جواب های تولید شده سه مقطع برش خطی روی صفحه مورد نظر در موقعیت های $X=5m$, $Y=5m$ و $X=2/5m$ در نظر گرفته شده (شکل 2-الف) سپس نتایج حاصل از مدل عددی بر روی مقاطع ایجاد شده با جواب های حاصل از حل تحلیلی مسئله مقایسه شده است (شکل 3). همانگونه که از نمودارهای شکل 3 بر می آید، نتایج حاصل از دو روش حل

(21) محاسبه می شود:

$$\Delta t_i = CFL \frac{d_i}{|U|_i + \sqrt{g \cdot h_i}} \quad (21)$$

در رابطه فوق CFL ضریب کورانت-فردریخ-لوی می باشد و به عنوان ضریب محدود کننده در پایداری زمانی استفاده می شود که در تحقیق حاضر برابر با واحد در نظر گرفته شده است (Zienkiewicz et al., 2005). در رابطه (21) d_i نسبت مساحت به محیط محدوده تحت قلمرو گره i است. $|U|_i$ برابر با اندازه بردار سرعت در گره i می باشد؛ h_i ارتفاع در گره i و g نشان دهنده شتاب ثقل است. پس از محاسبه بیشینه گام زمانی مجاز برای هر گره، گام زمانی حل با توجه به معیار زیر در نظر گرفته می شود:

$$\Delta t \leq \min(\Delta t_i) \quad (22)$$

6-2- اعمال شرایط مرزی

در تحقیق حاضر به دلیل بسته بودن مرز در تمامی مسائل مورد مطالعه، تمام نقاط مرزی ثابت می باشند. همچنین شرط مرزی از نوع دریشه است، یعنی در تمامی مرزهایی که احتیاج به اعمال شرط مرزی دارند، مقدار متغیر در گره های مرزی تعیین می شود. با توجه به اینکه از ویژگی های درونیاب همسایه طبیعی رفتار خطی آن در نواحی مرزی است، می توان گفت در نواحی مرزی،تابع شکل المان طبیعی دقیقاً مانند تابع شکل خطی اجزا محدود عمل می کند و به سادگی می توان با جانشینی کردن مقدار متغیر در مرزها شرط مرزی را اعمال کرد.

(Cueto, 2003)

3- صحت سنجی مدل عددی

به منظور صحت سنجی مدل عددی از سه مسئله با حل تحلیلی (1) انتقال دوبعدی حرارت (به منظور صحت سنجی جملات پخش)، (2) شکست ناگهانی سد (به منظور صحت سنجی جملات جابجایی)، (3) جریان با سطح آزاد عبوری از روی مانع و (4) یک مدل با نتایج آزمایشگاهی جریان درون پارشال-فلوم استفاده شده است.

3-1- مسئله پخش حرارت

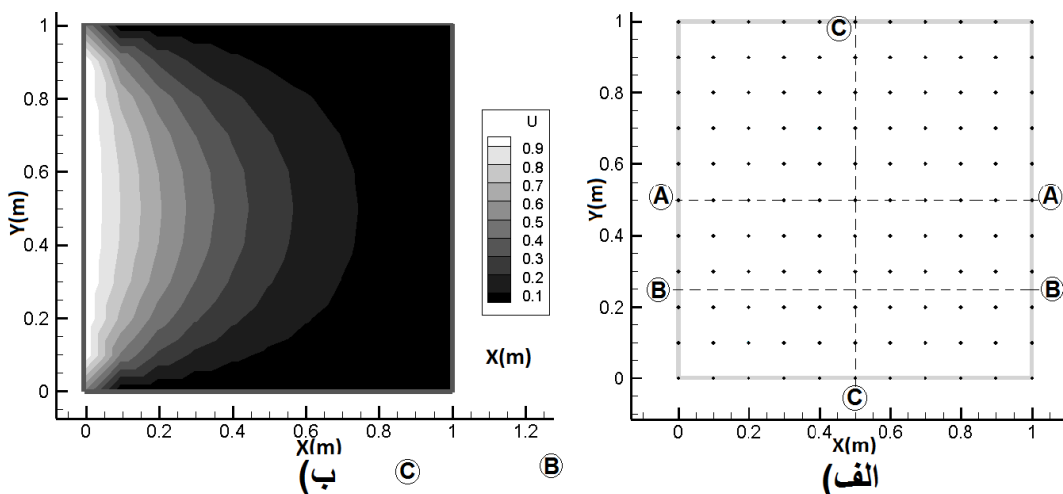
شکل کلی معادله حاکم بر مسئله پخش حرارت، معادله

شناخته شده ترین مسائل برای محک زدن قابلیت جمله جابجایی مدل عددی در شبیه سازی جریان های با گرادیان شدید عددی است. در این بخش مدل سازی جریان حاصل از شکست ناگهانی سد ارائه شده توسط ریتر (1892) بر روی یک کanal یک بعدی با طول 2000 متر مد نظر قرار گرفته است.

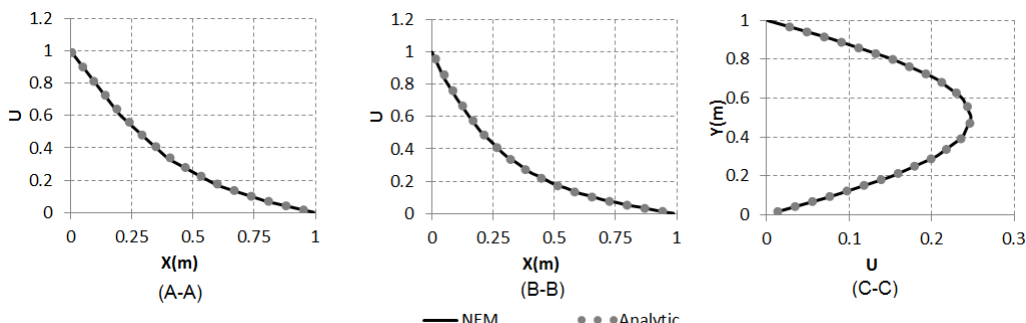
کاملاً منطبق می باشند. همچنین خطای محاسبه شده و مدت زمان صرف شده برای اجرای مدل عددی در جدول 1 قید شده است.

2-3 مسأله شکست سد

مدل سازی رفتار جریان پس از شکست سد یکی از



شکل 2 صفحه مفروض برای مسأله پخش حرارت (الف) نحوه گره گذاری و مقطع A-A و مقطع B-B و مقطع C-C
ب) خطوط نواحی هم دما



شکل 3 منحنی تغییرات دما در مقاطع A-A , B-B , C-C در مسأله پخش حرارت با استفاده از روش عددی و حل تحلیلی

جدول 1 ارزیابی نتایج حاصل از شبیه سازی عددی در قالب معیارهای خطای جذر میانگین مریعات خطای نرمال شده و ضریب تبیین و مدت زمان اجرای برنامه مدل عددی

نام آزمون	قطعه بررسی شده	خطای NRMSE	ضریب تبیین	زمان پردازش (ثانیه)
شکست سد	---	1/7%	0/99961	146
	A-A	0/5%	0/99980	
پخش حرارت	B-B	1/6%	0/99986	22
	C-C	0/6%	0/99984	
عبور جریان پایدار از بستر ناهموار	D-D	0/7%	0/99997	840
جریان در پارشال فلوم	E-E	18/2%	0/90530	1335

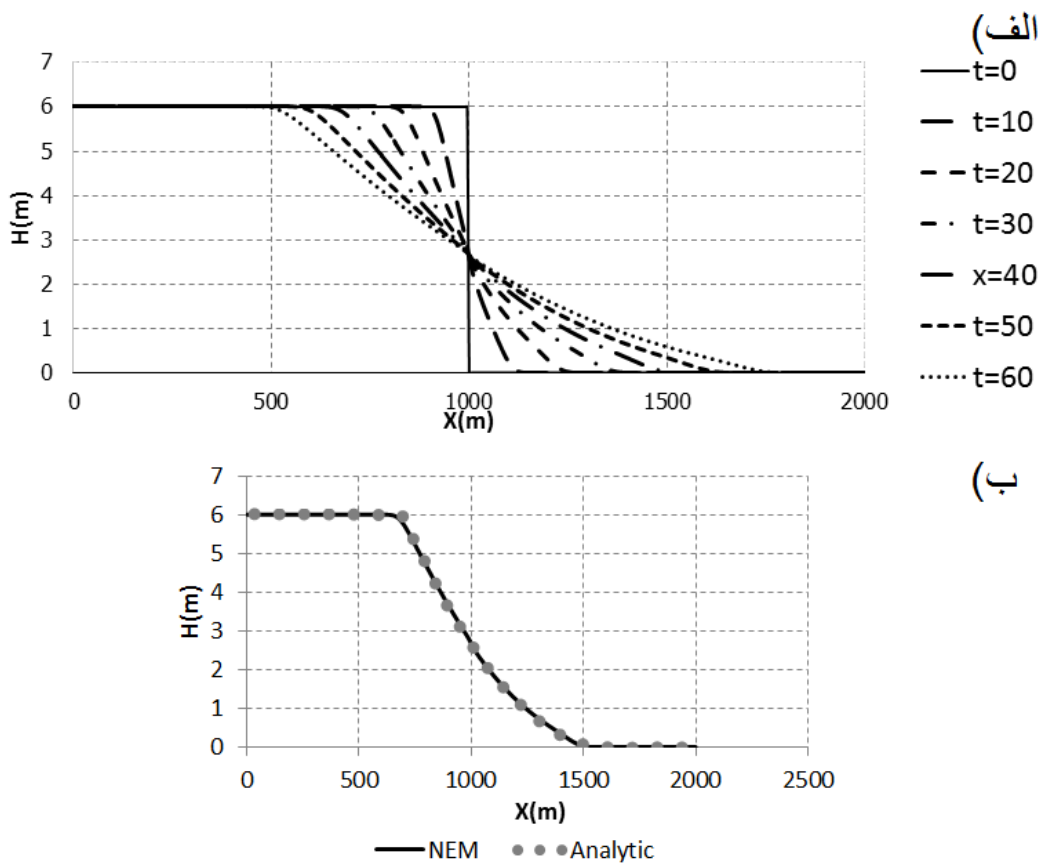
مدت زمان 40 ثانیه، با نتایج تحلیلی مسأله در شکل 4- ب مقایسه شده است. خطای محاسبه شده به صورت جذر میانگین مربعات خطای نرمال شده و ضریب تبیین در جدول 1 ارائه شده است. همچنین مدت زمان پیش پردازش و پردازش اصلی مدل نیز در جدول 1 قبل مشاهده است. نتایج ارائه شده در شکل 4 و میزان خطای محاسبه شده جذر میانگین مربعات خطای نرمال شده برابر با 1/7 درصد بیانگر قابلیت بالای مدل عددی در شبیه‌سازی پدیده شکست سد می‌باشد.

3-3- جریان عبوری از روی بستر ناهموار

هدف از انجام این شبیه‌سازی بررسی توانایی درونیاب سیبسوون در شبیه سازی ناهمواری‌های کanal و همچنین توانایی روش المان طبیعی در نمایش تأثیرات بستر کanal بر شکل جریان است.

در شرایط اولیه عمق آب در بالا دست (با طول 1000 متر) برابر 6 متر در نظر گرفته شده و شرایط مرزی پایین دست خشک اعمال شده است، همچنین اصطکاک بستر برابر با صفر در نظر گرفته شده است. ریتر این مسأله را به صورت تحلیلی مورد حل قرار داده است و نتایج حل وی به عنوان معیار حل در تحقیق حاضر در نظر گرفته شده است (Ritter, 1982).

برای گسته‌سازی مکانی مسأله فوق کanalی با المان‌هایی به طول 1 متر در نظر گرفته شده است. با توجه به یک بعدی بودن محدوده حل، توابع شکل در مدل‌سازی مسأله حاضر به صورت خطی بດست آمدند. همچنین محدوده مرزی سلول ورونی برای هر گره به دو نقطه دو طرف گره تبدیل گشت. در شکل 4-الف پروفیل سطح آزاد آب بດست آمده از روش عددی در مدت زمان 60 ثانیه پس از شکست سد با فواصل زمانی 10 ثانیه قرار داده شده است. به منظور صحبت‌سنجی نتایج بດست آمده، پس از گذشت



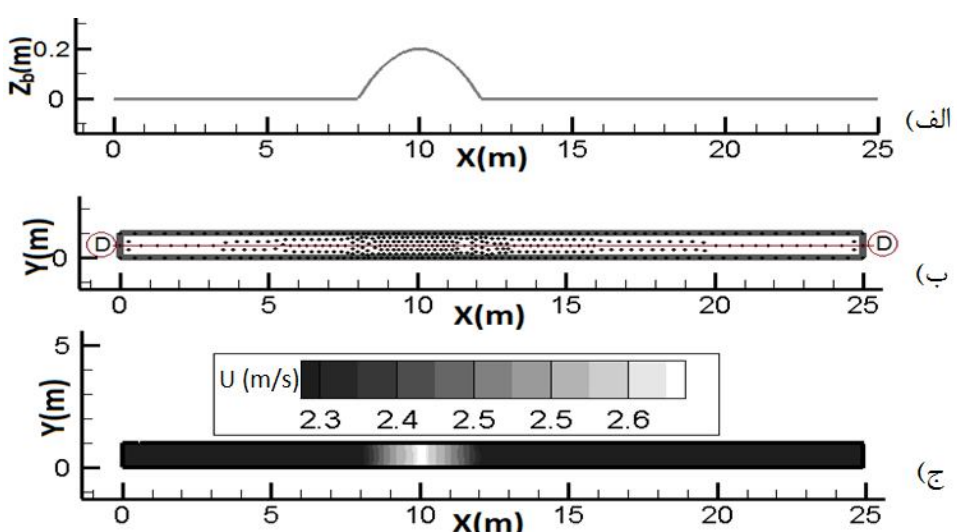
شکل 4 پروفیل تغییرات سطح آب در مسأله شکست سد؛ (الف) با فواصل 10 ثانیه پس از شکست، (ب) پس از گذشت 40 ثانیه از شکست در مقابل نتایج حاصل از حل تحلیلی

نواحی برآمدگی بیشتر می‌باشد. شکل 5-ج نتایج حاصل از مدل سازی را در قالب نواحی هم سرعت پس از پایدار شدن شکل جریان نشان می‌دهد. شکل 6 روند همگرایی تغییرات سرعت در مرکز برآمدگی ($X=10m$) را بر حسب زمان تا رسیدن به معیار همگرایی نتایج با دقت 10^{-6} که پس از گذشت 58 ثانیه رخ داده است، به تصویر می‌کشد. در شکل 7 نمودار تغییرات تراز سطح آب حاصل از مدل عددی با نتایج تحلیلی مورد مقایسه قرار گرفته است. با توجه به پایین بودن معیار خطای جذر میانگین مربعات خطای نرمال شده معادل $0/7$ درصد و نزدیک به واحد بودن ضریب همبستگی ($0/9997$) مابین نتایج عددی و تحلیلی، صحت عملکرد مدل عددی تایید می‌گردد. میزان خطای محاسبه شده و مدت زمان حل عددی در جدول 1 ارائه شده است.

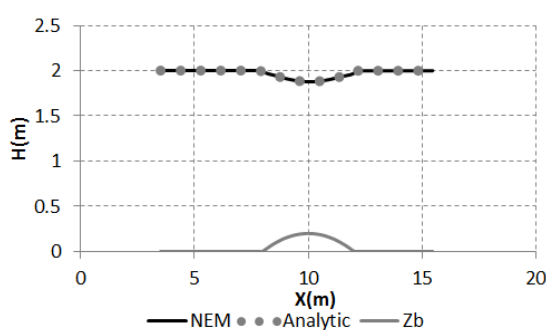
کanalی با بستر ناهموار با طول 25 متر و عرض 1 متر در نظر گرفته شده است به طوریکه برآمدگی بستر کanal از طول 8 متر شروع شده و تا طول 12 متر ادامه می‌یابد. تغییرات ارتفاع بستر کanal پیرو رابطه زیر است. شکل 5-الف وضعیت هندسی کanal با بستر ناهموار را نشان می‌دهد.

$$Z_b = \begin{cases} 0 & x < 8m \\ 0.2 - 0.05(x-10)^2 & 8 \leq x \leq 12 \\ 0 & 12 \leq x \end{cases} \quad (22)$$

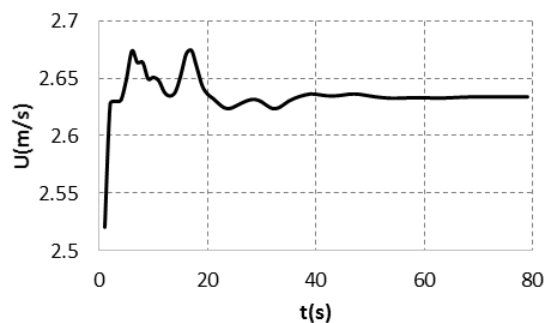
مسئله فوق توسط گوتا و مورل (1997) بصورت تحلیلی حل شده است (Gouta et al., 1997). در حل این مسئله دبی ورودی برابر $4/42$ متر مکعب بر ثانیه و ارتفاع اولیه آب برابر با 2 متر درنظر گرفته شده است. تعداد گره‌های در نظر گرفته شده برابر با 401 گره می‌باشد و همان‌گونه که از شکل 5-ب مشهود است تجمع گره‌گذاری در



شکل 5 هندسه مدل و نتایج حاصل از شبیه‌سازی عددی در مسئله جریان عبوری از روی برآمدگی (الف) نمایش وضعیت توپوگرافی مدل، (ب) مدل نحوه گره گذاری و محل مقطع D-D. (ج) نواحی هم سرعت جریان



شکل 7 نتایج حاصل از مدل عددی و تحلیلی تغییرات تراز سطح آب در مسئله جریان عبوری بر روی مانع



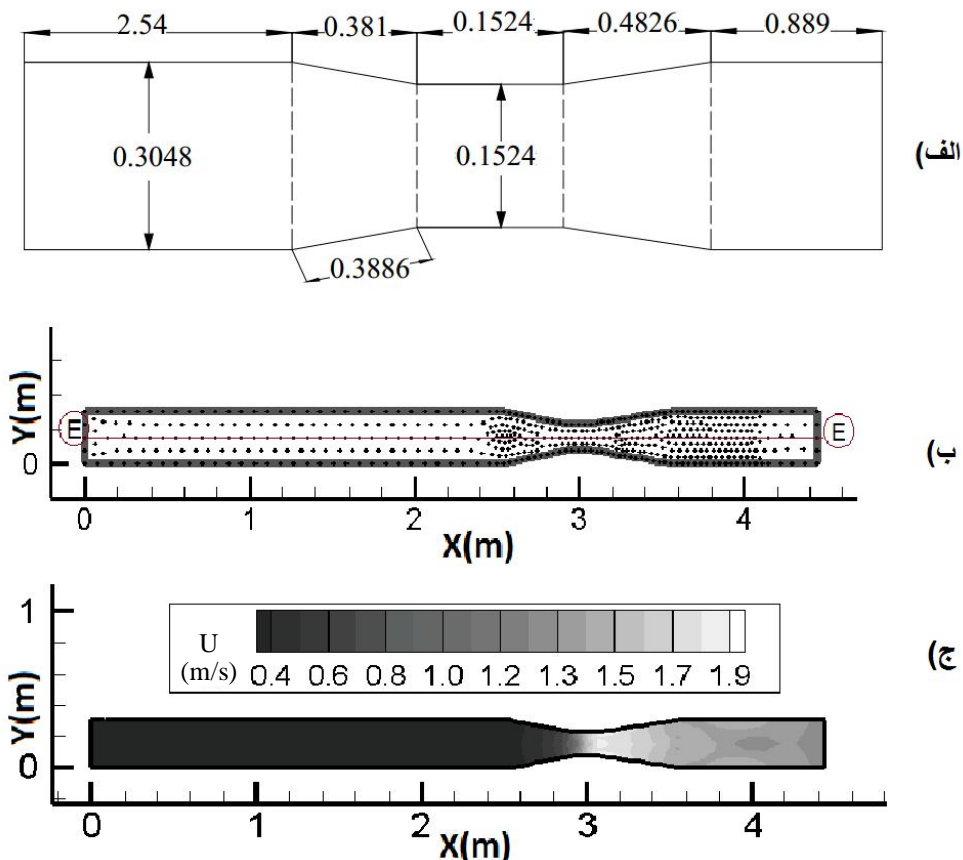
شکل 6 منحنی همگرایی تغییرات سرعت نسبت به زمان در مرکز برآمدگی در مسئله جریان عبوری بر روی مانع

حل، تجمع گره‌ها در نواحی تنگ شدگی و پس از آن به علت تغییرات شدید تراز سطح و سرعت جریان بیشتر منظور شده است. تعداد گره‌های در نظر گرفته شده برابر با 509 گره است و گام زمانی مطابق رابطه (21) در هر مرحله از روند حل محاسبه شده است. در شروع محاسبات مقادیر عمق اولیه برابر با 0/1 متر و سرعت اولیه برابر با 2 متر بر ثانیه منظور شده است. با توجه به زیربحranی بودن جریان در قسمت اول کanal و فوقبحranی بودن در قسمت دوم کanal، مقادیر سرعت و عمق در بالا دست کanal اعمال گشته‌اند و در پایین دست جریان شرط مرزی آزاد اعمال شده است. همچنین شرط مرزی دیواره از نوع لغزشی در نظر گرفته شده است. در شکل 8-ج نواحی هم سرعت در جریان بدست آمده از روش المان طبیعی بر روی کanal نمایش داده شده است.

4-3- جریان در پارشال فلوم

شبیه‌سازی جریان در پارشال فلوم از این‌رو حائز اهمیت می‌باشد که به علت تغییر رژیم جریان از حالت زیربحranی به فوقبحranی کارایی مدل عددی در شبیه‌سازی جریان با سطح آزاد به چالش کشیده می‌شود. در آزمایش صورت گرفته توسط کورکودال (1997) تغییرات تراز سطح آب در محور مرکزی پارشال فلوم برداشت شده است. طرح شماتیک وضعیت هندسی پارشال فلوم در شکل 8-الف نشان داده شده است. مقدار شبیب در قسمت مستقیم کanal برابر 0/5617 و در قسمت همگرا شونده برابر با 0/17613 است. شرایط مرز ورودی برای مقدار دبی به کanal برابر با 0/0145 متر مکعب بر ثانیه اعمال شده است (Ye, 1997).

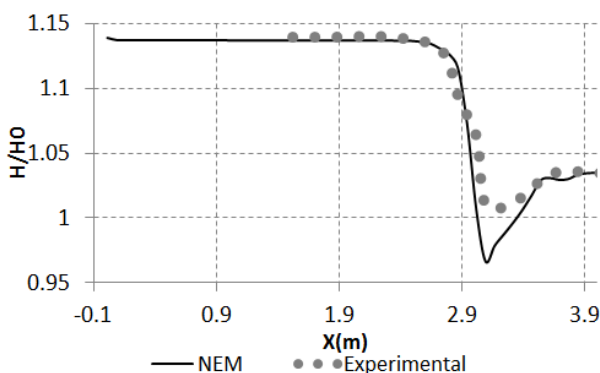
شکل 8- ب نحوه گسسته‌سازی بدون شبکه میدان حل را نشان می‌دهد. برای گسسته‌سازی مکانی هندسه میدان



شکل 8 (الف) وضعیت هندسی پارشال فلوم (ب) نحوه گره‌گذاری بدون شبکه در مسئله پارشال فلوم (ج) نواحی هم سرعت جریان

مدت زمان پردازش (هزینه محاسباتی) برای تمامی مسائل بخش صحتسنجی در جدول ۱ ارائه شده است؛ لازم به ذکر است برای مدل سازی از رایانه با مشخصات پردازشگر ۲/۶۷ گیگاهرتز و ۶ گیگابایت حافظه RAM استفاده شده است.

ناچیز بودن میزان جذر میانگین مربعات خطای نرمال شده و بالا بودن ضریب تبیین در مسائل پخش حرارت، پدیده شکست سد و جریان عبوری بر روی مانع بر قابلیت بالای مدل عددی در شبیه‌سازی جریان با سطح آزاد صحه می‌گذارد. افزون بر این مدل عددی نتایج قابل قبولی را در ارتباط با مدل سازی جریان درون پارشال فلوم نشان داده است. به طوریکه مدل عددی در شبیه‌سازی تغییر رژیم جریان (زیربحارانی به فوق بحرانی)، محل تغییرات عمق جریان و عمق ثانویه جریان را به خوبی پیش‌بینی کرده اما در محاسبه مقدار اعمق در نواحی تغییر عمق (شکل ۹) ضعف داشته است. علل خطای موجود در شبیه‌سازی‌های عددی صورت گرفته را می‌توان در دو مورد اصلی جستجو نمود. ۱) نخست آنکه از آنجا که ماهیت اصلی پدیده‌های مورد بررسی در آزمون معرفی شده سه‌بعدی است (هر چند تغییرات در جهت قائم ناچیز باشد)، دو بعدی سازی معادله ناویه-استوکس در آب‌های کم عمق موجب ایجاد کمی خطأ در دقت جواب‌های معادلات تغییر شکل یافته می‌شود، همچنین ۲) از آنجا که معیار اصلی محاسبه خطای روش‌های عددی مذبور برداشت‌های آزمایشگاهی بوده‌اند، لذا اطمینان کامل از نتایج مرجع به منظور تعیین دقیق مقدار خطای مدل امکان‌پذیر نیست.



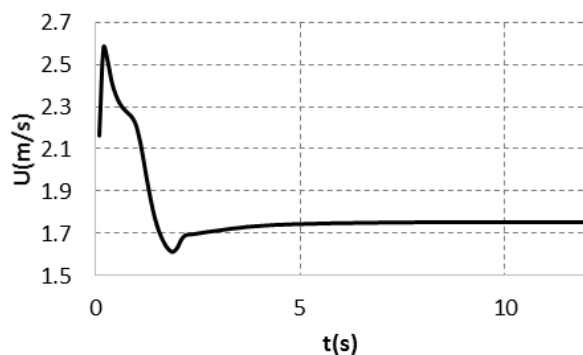
شکل ۱۰ منحنی ارتفاع بی بعد شده جریان در مسئله پارشال فلوم

همچنین در شکل ۹ روند همگرایی تغییرات سرعت در قسمت تنگشدنگی کanal ($X = 3.2\text{m}$) بر حسب زمان ارائه شده است که در زمان ($t = 7\text{s}$) نتایج با دقت 10^{-6} همگرا شده‌اند. به منظور مقایسه نتایج تراز سطح آب محاسباتی و برداشت‌های آزمایشگاهی، نتایج به دست آمده در مقطع میانی کanal (مقطع E-E در شکل ۸-ب) در شکل ۱۰ نشان داده شده است و خطای محاسبه شده و مدت زمان حل در جدول ۱ ارائه شده است.

همانگونه که از شکل ۱۰ برمی‌آید روش ارائه شده تغییر رژیم جریان و همچنین محل تغییرات عمق جریان را به خوبی محاسبه می‌کند، با این حال بیشترین تفاوت نتایج در محل تنگشدنگی و تغییر ناگهانی عمق جریان به وجود آمده است؛ در ناحیه‌ی پرش هیدرولیکی (محل تنگشدنگی) مقدار خطأ افزایش یافته و مقدار بیشینه خطای نسبی در محاسبه عمق بی بعد شده در نقطه به طول ($X = 3.02\text{m}$) به مقدار ۵% می‌رسد.

۴- بحث و تحلیل نتایج

با توجه به نتایج به دست آمده از مدل عددی به روش المان طبیعی در شبیه‌سازی پخش حرارت و جریان با سطح آزاد مشخص می‌شود که روش مذبور توانایی مناسبی در شبیه‌سازی موارد فوق الذکر را دارد. به منظور درک و شناخت کاملتر از ارزیابی عملکرد مدل عددی، نتایج حاصل از شبیه‌سازی و تحلیلی آزمایشگاهی در قالب دو معیار خطای جذر میانگین مربعات خطای نرمال شده و ضریب تبیین در جدول ۱ آورده شده است. افزون بر این



شکل ۹ منحنی همگرایی تغییرات سرعت نسبت به زمان در تنگشدنگی مسئله پارشال فلوم

بعدی پیچیده مانند جریان درون پیچانرودها، رودخانه‌ها، جریان‌های القایی از وزش باد و ... پیشنهاد می‌شود.

6- فهرست عالیم

d	فاصله بین نقاط در دیاگرام ورنی
g	شتاب گرانش
h	ارتفاع سیال
n	نشارنگر گام زمانی
N_i	تابع شکل سیسیون
q	دیبی در واحد عرض
t	زمان
U	سرعت سیال
w	تابع وزن نقاط گوسی
z_b	تراز بستر
τ_b	اصطکاک بستر
V	ضریب پخش لزجت سیال

7- منابع

- Alfaro, I., Yvonnet, J., Chinesta, F. and Cueto, E. (2007). "A study on the performance of natural neighbour-based Galerkin methods", International Journal for Numerical Methods in Engineering. 71(12), pp. 1436-1467.
- Band, D. (1961). *Solutions of Laplace's Equation*. Kluwer Academic Publishers.
- Bueche, D., Sukumar, N. and Moran, B. (2000). "Dispersive properties of the natural element method". Computational Mechanics. 25, pp. 207-219.
- Chen, J.S., Wu, C.T., Yoon, S. and You, Y. (2001). "A stabilized conforming nodal integration for Galerkin mesh-free methods", International Journal for Numerical Methods in Engineering. 50(2), pp. 435-466.
- Cueto, E., Sukumar, N., Calvo, B., Martinez, M.A., Cegonino, J. and Dobriare, M. (2003). "Overview and recent advances in natural neighbour Galerkin methods", Archives of Computational Methods in Engineering. 10(4), pp. 307-384.
- Darbani, M., Ouahsine, A., Villon, P., Naceur, H. and Smaoui, H. (2011). "Meshless method for shallow water equations with free surface flow", Mathematics and Computation. 217(11), pp. 5113-5124.

شایان ذکر است که در این پژوهش برای پایدارسازی بخش جایجایی از روش جهتمند تعمیم مرتبه دوم طرح ون-لیر با تغییرات لازم و انحصاری برای سازگاری با روش المان طبیعی استفاده شده است و با توجه به بالا بودن دقیق حل و نزدیکی جواب ایجاد شده به جواب حل تحلیلی مسئله، می‌توان نتیجه گرفت که طرح جهتمند استفاده شده با روش حل پیشنهادی سازگار است.

5- نتیجه‌گیری

در این پژوهش استفاده از روش عددی بدون شبکه المان طبیعی در حل معادلات حاکم بر جریان با سطح آزاد مورد بررسی قرار گرفت. از آنجا که استفاده از روش انتگرال گیری به روش نقاط گوسی در روش المان طبیعی در مقایسه با حل انتگرال گرهای از دقیق کافی برخوردار نیست (Alfaro et al., 2007)؛ بنابراین در پژوهش حاضر عملکرد روش انتگرال گرهای پایدار شده در حل معادلات حاکم به روش بدون شبکه المان طبیعی مورد آزمون قرار گرفت. همچنین برای پایدارسازی بخش جایجایی جریان از روش جهتمند تعمیم مرتبه دوم طرح ون لیر استفاده شد. به منظور صحبت‌سنگی نتایج حاصل از روش عددی ارائه شده، چهار آزمون پخش دو بعدی حرارت در صفحه، مسئله شکست سد، عبور جریان پایدار از روی بستر ناهموار و جریان درون پارشال فلوم شبیه‌سازی گردید. بررسی دقیق تولید شده در روش المان طبیعی این نتیجه را حاصل می‌نماید که روش المان طبیعی توانایی مناسبی در شبیه‌سازی جریان با سطح آزاد را دارد می‌باشد. همچنین نتایج گویای سازگاری روش جهتمند تعمیم مرتبه دوم طرح ون لیر با روش المان طبیعی با انتگرال گیری گرهای است. در نهایت ذکر این نکته ضروری است که در این مرحله تعمیم کلی نتایج به دست آمده در رابطه با توانایی روش المان طبیعی با انتگرال گیری گرهای و طرح مرتبه دوم ون لیر در شبیه‌سازی تمام مسائل جریان با سطح آزاد شایسته نیست و محرز ساختن این امر نیازمند شبیه سازی‌ها و بررسی‌های بیشتر می‌باشد. همچنین، در ادامه تحقیقات به منظور به چالش کشیدن و ارزیابی کارایی روش ارائه شده، شبیه‌سازی جریان‌های دو

- water simulation", Workshop on Virtual Reality Interaction And Physical Simulation (VRIPHYS). pp. 39-46.
- Ye, J. and McCorquodale, J. (1997). "Depth-averaged hydrodynamic model in curvilinear collocated grid", Journal of Hydraulic Engineering. 123(5), pp. 380-388.
- You, J.W., Moran, B. and Chen, J.S. (2004). "Stabilized conforming nodal integration in the natural-element method", International Journal for Numerical Methods in Engineering. 60(5), pp. 861-890.
- Zienkiewicz, O.C., Taylor, R.L. and Nithiarasu, P. (2005). *The finite element method for fluid dynamics*. Butterworth-Heinemann, p. 451.
- Zounemat-Kermani, M. and Sabagh-Yazdi, S.R. (2010). "Conjunction of 2d and 3d modified flow solvers for simulating spatiotemporal wind induced hydrodynamics in the caspian sea", Ocean Science Journal. 45, pp.113-128.
- Zounemat-Kermani, M. and Sabagh-Yazdi, S.R. (2010). "Coupling of two- and three-dimensional hydrodynamic numerical models for simulating wind-induced currents in deep basins", Computers & Fluids. 39, pp. 994–1011.
- Goutal, N. and Maurel, F. (1997). "Dam break wave simulation", Proceedings of the 2nd workshop on dam-break wave simulation. Technical Report HE-43/97/016/B, Electricite de France, Direction des etudes et recherches.
- Gomez, L. C. (2005). An unstructured finite volume model for unsteady turbulent shallow water flow with wet-dry fronts. Doctoral Thesis. Departament de Metodos Matematicos, de Representacion. Universidad de A Coruna.
- Lin, H. and Atluri, S.N. (2001). "The Meshless local Petrov-Galerkin (MIPG) method for solving incompressible Navier-Stokes equations", Cmes. 2(2), pp. 117-142.
- Liu, G.R. (2009). *Mesh free methods moving beyond the finite element method*. New York, CRC Press, p. 792.
- Patankar, S.V. (1980). Numerical heat transfer and fluid flow. CRC Press. NewYork.
- Ritter, A. (1892). "Die fortpflanzung der wasserwellen", Zeitschrift des Vereines deutscher Ingenieure. 36(2) , pp. 947-954.
- Solenthaler, B., Bucher, P., Chentanez, N., Müller, M. and Gross, M. (2011). "SPH based shallow